

С 15а

Е - 601

СООБЩЕНИЯ
ОБЪЕДИНЕНОГО
ИНСТИТУТА
ЯДЕРНЫХ
ИССЛЕДОВАНИЙ

Дубна

P10 - 5301



Г.А. Емельяненко

ВЫБОР ПАРАМЕТРОВ ПОЛНОЙ ФУНКЦИИ
ПРАВДОПОДОБИЯ ПРИ ОБРАБОТКЕ
КАМЕРНЫХ СНИМКОВ

ЛАБОРАТОРИЯ ВЫЧИСЛИТЕЛЬНОЙ ТЕХНИКИ
И АВТОМАТИЗАЦИИ

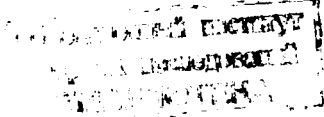
1970

P10 - 5301

Г.А. Емельяненко

ВЫБОР ПАРАМЕТРОВ ПОЛНОЙ ФУНКЦИИ
ПРАВДОПОДОБИЯ ПРИ ОБРАБОТКЕ
КАМЕРНЫХ СНИМКОВ

8599/2 №⁹



$B^{1,2}/$ показано, что условие эффективности оценок кинематических параметров частиц, оставивших след в камере, выполняется в точке максимума функции условной плотности распределения вероятностей, которая имеет вид:

$$n(\Delta y, \delta, \epsilon / 0, \Sigma) = (2\pi)^{-3/2(n-1)} |\Sigma|^{-1/2} \exp [-1/2 Q], \quad (1.0)$$

где квадратичная форма Q :

$$\begin{aligned} Q = & \Delta Y^T [K] \Delta Y + \Delta^T [\Sigma_{22}^{-1} + \Sigma_{22}^{-1} \Sigma_{21} K \Sigma_{12} \Sigma_{22}^{-1}] \Delta + \\ & + \epsilon^T [\Sigma_{33}^{-1} + K] \epsilon - 2 \Delta Y^T [K \Sigma_{12} \Sigma_{22}^{-1}] \Delta - \\ & - 2 \Delta Y^T [K] \epsilon + 2 \Delta^T [\Sigma_{22}^{-1} \Sigma_{21} K] \epsilon. \end{aligned} \quad (1.1)$$

Здесь

$$a) \quad \Sigma = \left(\begin{array}{ccc|c|c} \Sigma_{11} + \Sigma_{33} & & \Sigma_{12} & & \Sigma_{33} \\ \hline \Sigma_{21} & & \Sigma_{22} & & 0 \\ \hline & & 0 & & \Sigma_{33} \end{array} \right) \quad (1.2)$$

Для всех $1 \leq i, j \leq n-1$

$$\Sigma_{11} = \frac{\theta^2}{12} x_i^2 (3x_j - x_{j-1}); \quad \Sigma_{22} = \frac{\theta^2}{2} (x_i - x_{i-1});$$

$$b) \quad \Sigma_{12} = \Sigma_{21}^T = \begin{cases} 0, & j > i \\ \frac{\theta^2}{4} [(x_j - x_{j-1})(2x_i - x_j - x_{j-1})], & i \geq j \end{cases}$$

$\theta_s^2 = \text{const } \frac{M^2 + P^2}{P^4}$, где M и P , соответственно, масса и импульс частицы. Σ_{33} - матрица ошибок измерений,

c) $\Delta Y = Y - \langle Y \rangle$, где Y - вектор случайных измерений на треке, $\langle Y \rangle$ - вектор средних значений для Y .

d) Δ - случайный вектор угловых отклонений за счёт кулоновского рассеяния,

e) ϵ - вектор измерительных ошибок,

$$f) \quad K = [\Sigma_{11} - \Sigma_{12} \Sigma_{22}^{-1} \Sigma_{21}]^{-1}$$

Как отмечалось в §1, максимум функции правдоподобия (1.0) отыскивается в пространстве гипотез R_m , причем каждый элемент вещественного Евклидова пространства R_m определяется совокупностью

m -вещественных чисел (кинематических параметров),

$$\theta^k = [\theta_1^k, \theta_2^k, \dots, \theta_m^k] \in R_m, k \in J$$

- счётное множество неотрицательных

чисел. Обозначим функцию правдоподобия (1.0) значком

$$\Psi = n(\Delta_y, \delta, \epsilon / \theta, \Sigma).$$

Поскольку $\ln \Psi$ является возрастающей функцией Ψ и ее максимум находится в той же точке пространства R_m , что и максимум Ψ , то удобнее находить максимум $\ln \Psi$, а не максимум Ψ .

$$\ln \Psi = -3/2(n-1) \ln(2\pi) - 1/2 \ln |\Sigma| - 1/2 Q. \quad (1.3)$$

Как уже отмечалось в §2,

$$|\Sigma| = \begin{vmatrix} \Sigma_{11} & \Sigma_{12} \\ \Sigma_{21} & \Sigma_{22} \end{vmatrix} \cdot |\Sigma_{33}|. \quad (*)$$

Поэтому с учётом (*) логарифм функции правдоподобия запишется в виде:

$$\ln \Psi = -3/2(n-1) \ln(2\pi) - 1/2 \ln \begin{vmatrix} \Sigma_{11} & \Sigma_{12} \\ \Sigma_{21} & \Sigma_{22} \end{vmatrix} - 1/2 \ln |\Sigma_{33}| - 1/2 Q. \quad (1.4)$$

Оценим вклады в $\ln \Psi$ каждого из членов суммы. Первый член не влияет на положение максимума в R_m . Рассмотрим третий член. Нетрудно убедиться в справедливости следующих неравенств:

$$0 \leq (\min_i \sigma_{\xi_i}^2)^{n-1} \leq |\Sigma_{33}| = \prod_{i=1}^{n-1} \sigma_{\xi_i}^2 \leq (\max_i \sigma_{\xi_i}^2)^{n-1}, \quad (1.5)$$

где $\sigma_{\xi_i}^2$ - квадрат стандартной ошибки (i -ый элемент матрицы измерительных ошибок Σ).

Вычислим следующие пределы, воспользовавшись свойством непрерывности

$$\lim_{\max_i \sigma_{\xi_i}^2 \rightarrow 1} (\max_i \sigma_{\xi_i}^2)^{n-1} = 1; \quad \lim_{\min_i \sigma_{\xi_i}^2 \rightarrow 0} (\min_i \sigma_{\xi_i}^2)^{n-1} = 0. \quad (1.6)$$

$$|\max_i \sigma_{\xi_i}^2| \rightarrow 1 \quad |\min_i \sigma_{\xi_i}^2| \rightarrow 0$$

Воспользовавшись примененным выше свойством перестановочности знака функции и значка предела и учитывая, что \ln является возрастающей функцией своего аргумента, получим следующую систему оценок:

$$\begin{aligned} \lim_{\max \sigma_{\xi} \rightarrow 1} \ln |\Sigma_{33}| &\leq \lim_{\max \sigma_{\xi} \rightarrow 1} (\max_i \sigma_{\xi}^2)^{n-1} = \\ &= \ln \lim_{\max \sigma_{\xi} \rightarrow 1} (\max_i \sigma_{\xi}^2)^{n-1} \xrightarrow{(1.6)} \ln 1 = 0, \end{aligned}$$

т.е.

$$\lim_{\max \sigma_{\xi} \rightarrow 1} \ln |\Sigma_{33}| \leq 0. \quad (1.7)$$

Аналогично рассуждая для оценки снизу, получим:

$$\lim_{\min \sigma_{\xi} \rightarrow 0} (\min_i \sigma_{\xi}^2)^{n-1} \geq -\infty. \quad (1.8)$$

Стремление максимальной стандартной ошибки к 1 взято ради наглядности и не нарушает общности рассуждения.

Поэтому, анализируя оценки (1.7) и (1.8), а также учитывая знак третьего слагаемого в (1.4), приходим к выводу, что чем меньше измерительные ошибки, тем больше значение $\ln \Psi$ и, следовательно, тем в меньшей окрестности точной гипотезы x / мы должны выбирать решение задачи.

$x/$ Пусть $\langle Y \rangle$ есть "точный" интеграл Лоренца^{4/}. Тогда, аппроксимируя $\langle Y \rangle$ экспериментальным набором Y (при условии отсутствия кулоновского рассеяния и измерительных ошибок), можно получить несмещенную оценку вектора $\Theta^k \in R_m$ (Θ^k – точная гипотеза). Однако мы имеем дело с реальным процессом, где присутствуют оба случайных фактора. Поэтому приведенные выше рассуждения для поиска Θ^k будут справедливыми, если известны полные смесения $\Delta Y = \Delta Y_{\text{кул.}} + \Delta Y_{\text{изм.}}$ для каждого данного трека. Совокупность величин $[\Delta Y_i]$ ($i=0,1,2,\dots,n-1$) определяет на плоскости трека реальную (ломаную) полосу около $\langle Y \rangle$, в которой лежит оптимальная "экспериментальная" траектория частицы. Сужение этой полосы за счёт измерительных ошибок увеличивает вероятность выбора из всего многообразия траекторий оптимальной кривой в построенном вариационном процессе, а, следовательно, и уточняет предельную гипотезу в R_m .

И наоборот – чем больше измерительные ошибки, тем шире окрестность Бейеса^{1/}, а, следовательно, и меньше вероятность выбрать лучшую гипотезу. Это приводит к необходимости более тщательного учета^{2/} измерительных ошибок, повышает требования к просмотрово-измерительной аппаратуре и оптическим алгоритмам восстановления пространственных точек вдоль следа.

На практике, как правило, матрица Σ_{33} выбирается усредненной по всем точкам, а это приводит к тому, что реальная " ΔY – полоса" приобретает " ϵ – размытие" вдоль всей границы (назовем так искажение " ΔY – полосы" для данного трека за счёт незнания истинных измерительных ошибок).

Однако следует обратить внимание на следующий факт. Задание Σ_{33} в ($i-1$) итерации по ММП приводит к тому, что вместо " ΔY – полосы" точной гипотезы решение отыскивается в " ϵ – размытии" этой полосы. Но, как следует из сущности ММП, предпочтение отдается той гипотезе, для которой $\ln \Psi$ принимает максимальное значение. Отсюда следует, что поскольку "объем" " ϵ – размытия" не меняется в данной итерации, то третий член в (1.4) не влияет на положение максимума $\ln \Psi$ в R_m , поскольку он уже не увеличивает значение $\ln \Psi$.

Остаётся единственный способ увеличения $\ln \Psi$ за счёт измерительных ошибок. Поскольку истинные ошибки входят в квадратичную форму Q , то их необходимо определить таким образом в пределах " ϵ – размытия", чтобы положительно определенная форма Q принимала наименьшее значение, а, следовательно, функция правдоподобия Ψ – наибольшее, что соответствует стягиванию " ϵ – размытия" в " ΔY -полосу", внутри которой оптимальным образом отыскивается предельная гипотеза.

Таким образом, приходим к выводу, что измерительные ошибки следует рассматривать как параметры и минимизировать по ним квадратичную форму Q .

Оценим теперь вклад в функцию правдоподобия (1.4) второго члена суммы, для чего воспользуемся выражениями (1.2)

$$\begin{vmatrix} \Sigma_{11} & \Sigma_{12} \\ \Sigma_{21} & \Sigma_{22} \end{vmatrix} \approx \left(\frac{\Theta_s^2}{2} \right)^{2(n-1)} \cdot \begin{vmatrix} \frac{x_i^2}{3} (3x_j - x_i) & [(x_j - x_{j-1})(2x_i - x_j - x_{j+1})] \\ (i \leq j = 1, 2, 3, \dots, n-1) & (i \geq j = 1, 2, 3, \dots, n-1) \end{vmatrix}$$

$$[(x_i - x_{i-1})(2x_j - x_i - x_{i-1})] \quad 2(x_i - x_{i-1}) \quad (1.9)$$

(j \geq i = 1, 2, 3, \dots, n-1) \quad (i=j=1, 2, 3, \dots, n-1).

Тождество (1.9) можно представить в виде:

$$\begin{vmatrix} \Sigma_{11} & \Sigma_{12} \\ \Sigma_{21} & \Sigma_{22} \end{vmatrix} \approx \left(\frac{\Theta_s^2}{2} \right)^{2(n-1)} \cdot |f(x)|. \quad (1.9')$$

Запись определителя в виде (1.9') подчеркивает следующий факт: $|f(x)|$ не зависит от Евклидова пространства R_m , если пренебречь ионизационными потерями на интервалах между двумя измеренными точками при вычислении элементов кулоновской матрицы. Зависимость кулоновской матрицы от гипотезы полностью вошла в множитель $\left(\frac{\Theta_s^2}{2} \right)^{2(n-1)}$.

Предположим, что точки на треке выбираются равномерно, т.е. толщина слоев ℓ_k одинакова (предположение равномерности и отсутствие потерь не влияют существенно на схему рассуждений).

Представим первый сомножитель в (1.9') в виде

$$\left(\frac{\Theta_s^2}{2} \right)^{2(n-1)} = \left(\frac{\Theta_s^2}{2} \ell \right)^{2(n-1)} \cdot (\ell)^{-2(n-1)} \quad (2.0)$$

Сомножитель $\ell^{-2(n-1)}$ в (2.0) теперь можем отнести ко второму сомножителю в (1.9') без потери общности рассуждений, т.е. определитель полной матрицы кулоновского рассеяния можно теперь записать в виде:

$$\begin{vmatrix} \Sigma_{11} & \Sigma_{12} \\ \Sigma_{21} & \Sigma_{22} \end{vmatrix} \approx \left(\frac{\Theta_s^2}{2} \ell \right)^{2(n-1)} \cdot F(x), \quad (2.1)$$

где

$$F(x) = \ell^{-2(n-1)} \cdot |f(x)|.$$

Нетрудно догадаться^{/3/}, что $\left(\frac{\Theta_s^2}{2} \ell \right)^{2(n-1)}$ есть проекция на плоскость трека среднего квадрата угла многократного кулоновского рассеяния, возведенная в степень $2(n-1)$. Теперь можем записать выражение для ℓ_n

$$\ell_n \begin{vmatrix} \Sigma_{11} & \Sigma_{12} \\ \Sigma_{21} & \Sigma_{22} \end{vmatrix} \approx \ell_n F(x) + 2(n-1) \ell_n \left(\frac{\Theta_s^2}{2} \ell \right). \quad (2.2)$$

Знак приближенного равенства в (2.2) выбран в силу допущений, о которых речь шла выше.

Первое слагаемое в (2.2) не влияет на положение максимума в R_m . Второе слагаемое в (2.2) можно записать в виде:

$$2(n-1) \ell_n \left(\frac{\Theta_s^2}{2} \ell \right) \approx 2 \ell_n |\Sigma_{22}|. \quad (2.3)$$

Таким образом, вклад в функцию правдоподобия (1.4) второго слагаемого, связанного с процессом многократного кулоновского рассеяния, определяется величиной $\ln |\Sigma_{22}|$.

Это обстоятельство наводит на рассуждения, аналогичные тем, которые проделаны выше при оценке вклада в функцию правдоподобия (1.4) третьего слагаемого, связанного с измерительными ошибками^{x/}. Разница^{xx/} в том, что теперь будем говорить о "Δ - размытии" "ΔY - полосы", которое обусловлено тем, что не известна точная гипотеза. Поэтому $\max \ln \Psi$ достигается при условии, что от итерации к итерации по ММП происходит стягивание "Δ - размытия" в "ΔY - полосу". Это условие выполняется, если кулоновские углы многократного рассеяния выбираются в качестве параметров наряду с классическими кинематическими параметрами Θ .

Справедлив и следующий вывод, который вытекает из приведенных выше рассуждений: чем меньше среднеквадратичные углы многократного кулоновского рассеяния, т.е. больше импульсы частиц, тем уже "ΔY - полоса", больше положительный вклад в функцию правдоподобия (1.4) от второго слагаемого, и, следовательно, больше вероятность выбора лучшей гипотезы. Верно и обратное утверждение. Этот вывод полностью подтверждается практикой обработки треков частиц.

Итак, квазианалогичная "реакция" функции правдоподобия на многократное кулоновское рассеяние и измерительные ошибки еще раз убеждает в том, что оба эти фактора должны учитываться одинаково тщательно^{1,2/} при геометрической реконструкции кинематических параметров заряженных частиц.

Применение ММП позволяет извлечь из случайной выборки обширную информацию о частице: Θ - вектор кинематических параметров, ϵ - вектор наиболее вероятных значений измерительных ошибок, допущенных при измерениях точек вдоль данного трека, Δ - вектор наиболее вероятных значений кулоновских углов многократного рассеяния при движении частицы.

^{x/} При этом необходимо учитывать явную зависимость $\Sigma_{22} (\Theta \in R_m)$.

^{xx/} Имеется в виду случай квазилинейной задачи^{4/}.

При этом, если воспользоваться результатами^{/5/}, то, как показано выше, схема применения ММП не отличается от схемы МНК для данного способа параметризации.

В заключение автор благодарит Н.Н. Говоруна, И.Н. Силина за постоянное внимание к работе и полезные обсуждения, а также В.И. Мороза и В.П. Жигунова за ценные советы.

Л и т е р а т у р а

1. Г.А. Емельяненко. Препринт ОИЯИ, Р10-5279, Дубна, 1970. ПТЭ.
2. Г.А. Емельяненко. Препринт ОИЯИ, Р10-5278, Дубна, 1970. ПТЭ.
3. Б. Rossi. Частицы больших энергий. ГИТЛ, Москва, 1955.
4. Г.А. Емельяненко, К.П. Ломов, Г.И. Макаренко, В.И. Мороз, И.С. Саитов, А.П. Стельмах. Препринт ОИЯИ, Р-2829, Дубна, 1966.
5. Г.А. Осоков, П.В. Шляпников. Препринт ОИЯИ, Р10-4261, Дубна, 1969, ПТЭ.

Рукопись поступила в издательский отдел

4 августа 1970 года.